# Imagerie des infections neuroméningées

Dr Augustin Gaudemer Service d'Imagerie Médicale, Hôpital Bichat

augustin.gaudemer@aphp.fr









# Infections neuroméningées

## Groupe hétérogène

Microbiologie

Présentation clinique

Pronostic

Imagerie

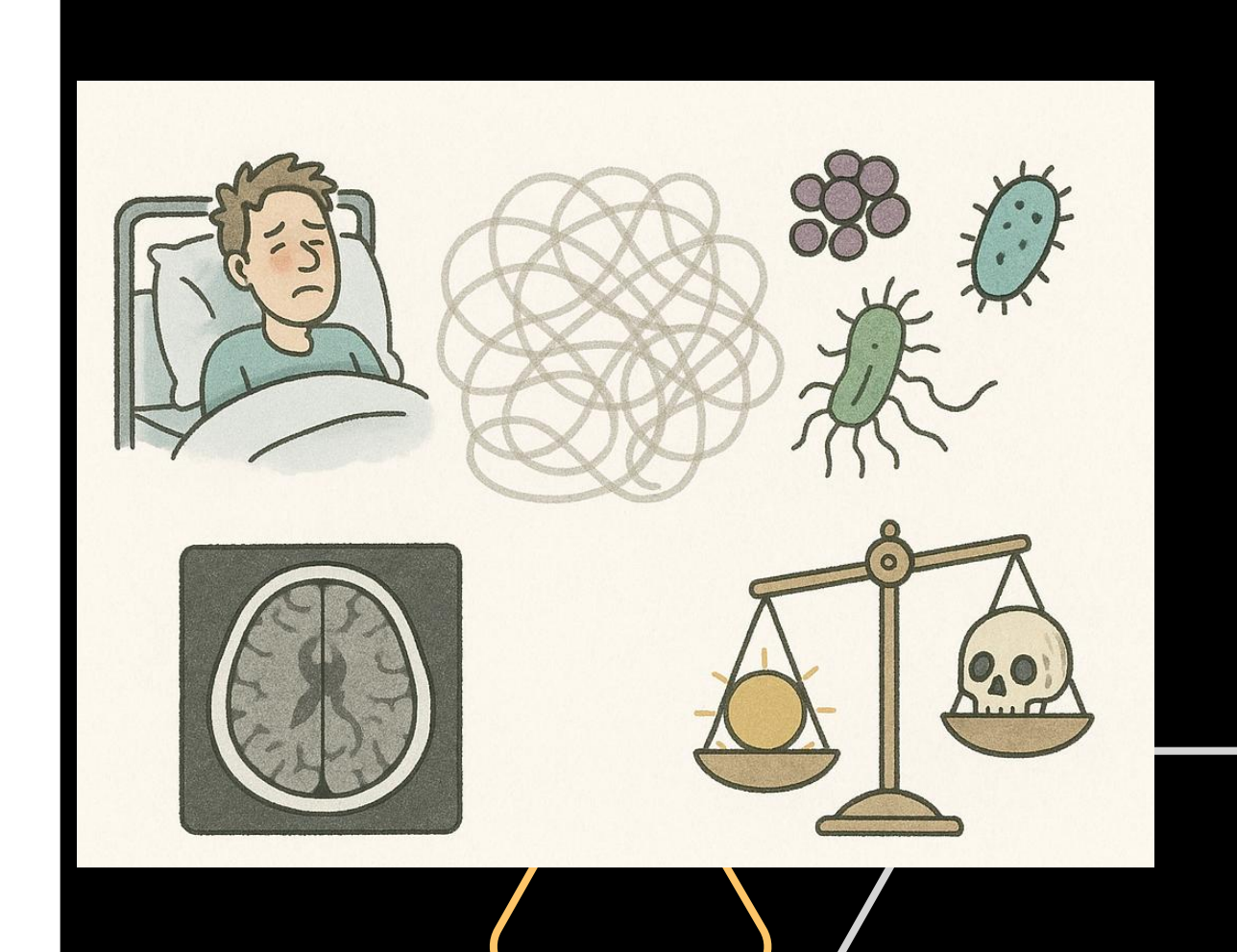
#### Objectifs de l'imagerie

Contre-indications à la PL

Orientation diagnostique

Recherche des complications

Evaluer le pronostic?



## IRM et infections neuroméningées

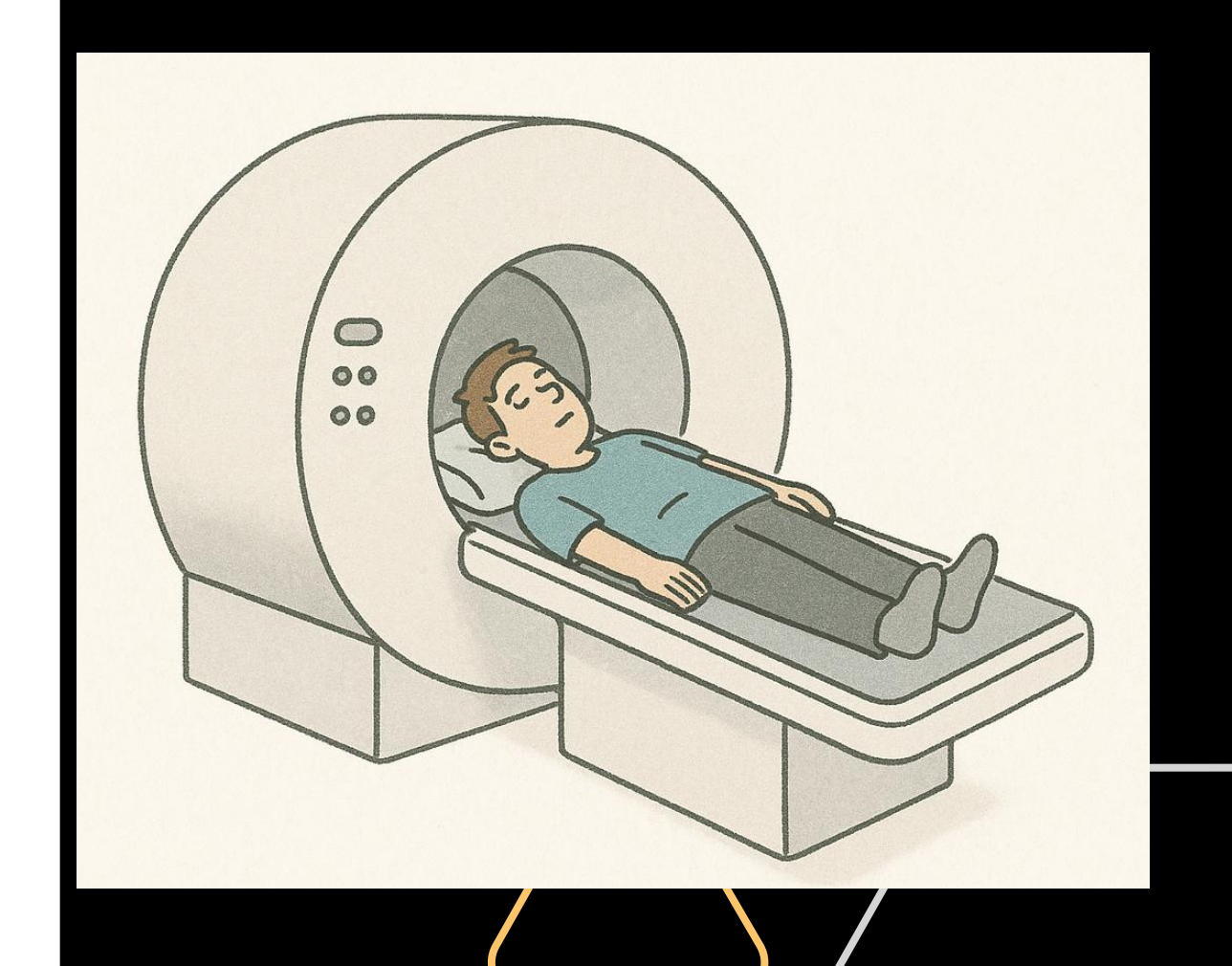
### Recommandée pour :

Abcès cérébraux Complications liées au soin Tuberculose Herpes

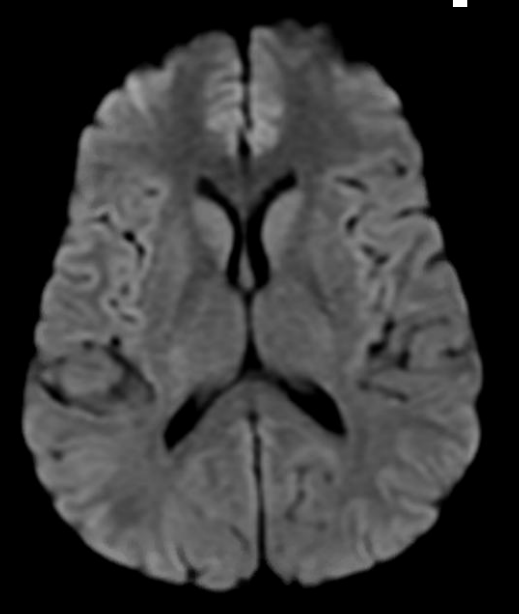
#### Délai?

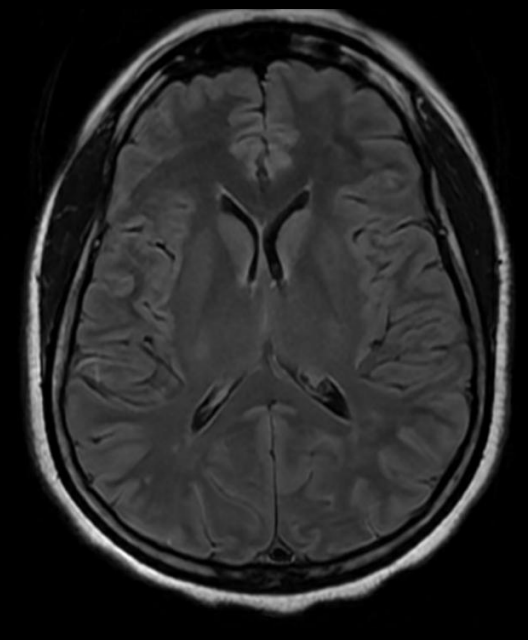
L'IRM ne doit pas retarder la PL ASAP pour démarche diagnostique (*idéalement <48h*)

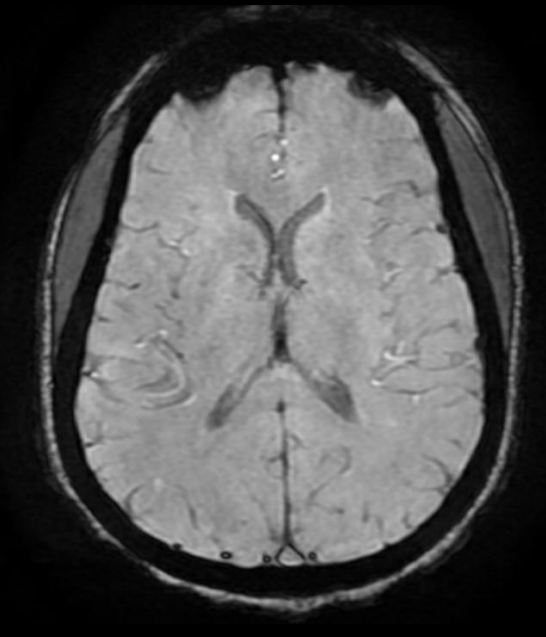
Autres infections?



## Protocole a l'IRM - rappels techniques









**Diffusion** 

Détection de l'ischémie (œdème cytotoxique) et de l'œdème interstitiel (vasogénique)

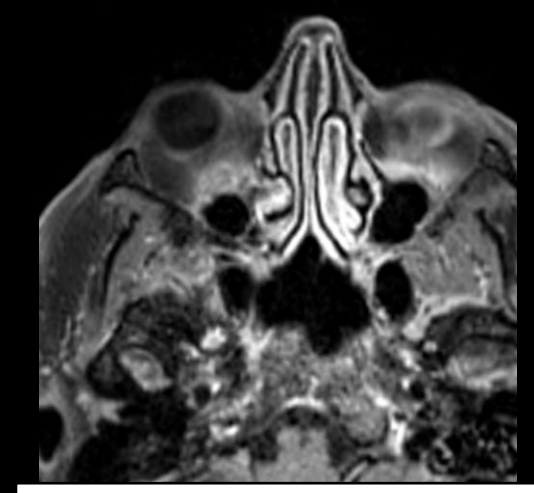
Intérêt de l'ADC

**T2 FLAIR** 

Hypersignaux = œdème, gliose (séquelles), infiltration tumorale

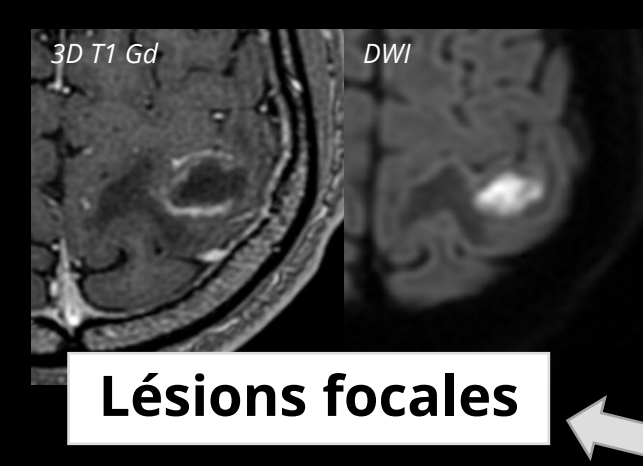
**SWI** (ex-T2\*)
Hyposignaux = **Déoxyhémoglobine**,
hémosidérine
Protéines

**T2**: caractérisation **3DTOF**: vasculopathie



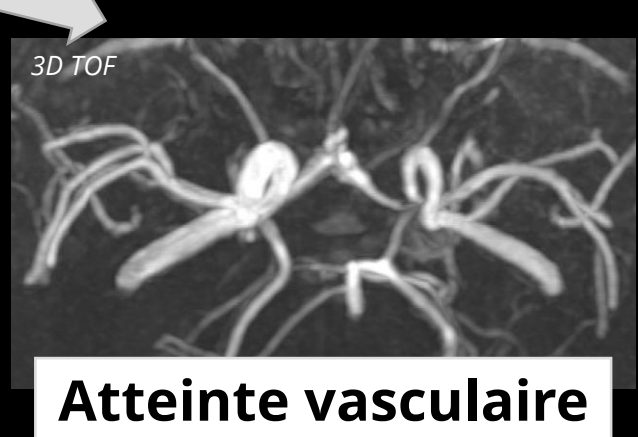
T1 **injecté** (sang noir)

# Pattern radiologique



IRM pathologique





**Encéphalite** 

Atteinte méningée

3D T1 Gd

# Cas clinique 1

**Femme** de 79 ans, originaire du Sri-Lanka A vécu 20 ans en France, **retour au Sri Lanka** depuis 2 ans

Mai 2022 : Hospitalisation pour **troubles cognitifs** (Sri Lanka)

CRP 230mg/L, pas de documentation

Traitement par C3G et FQ

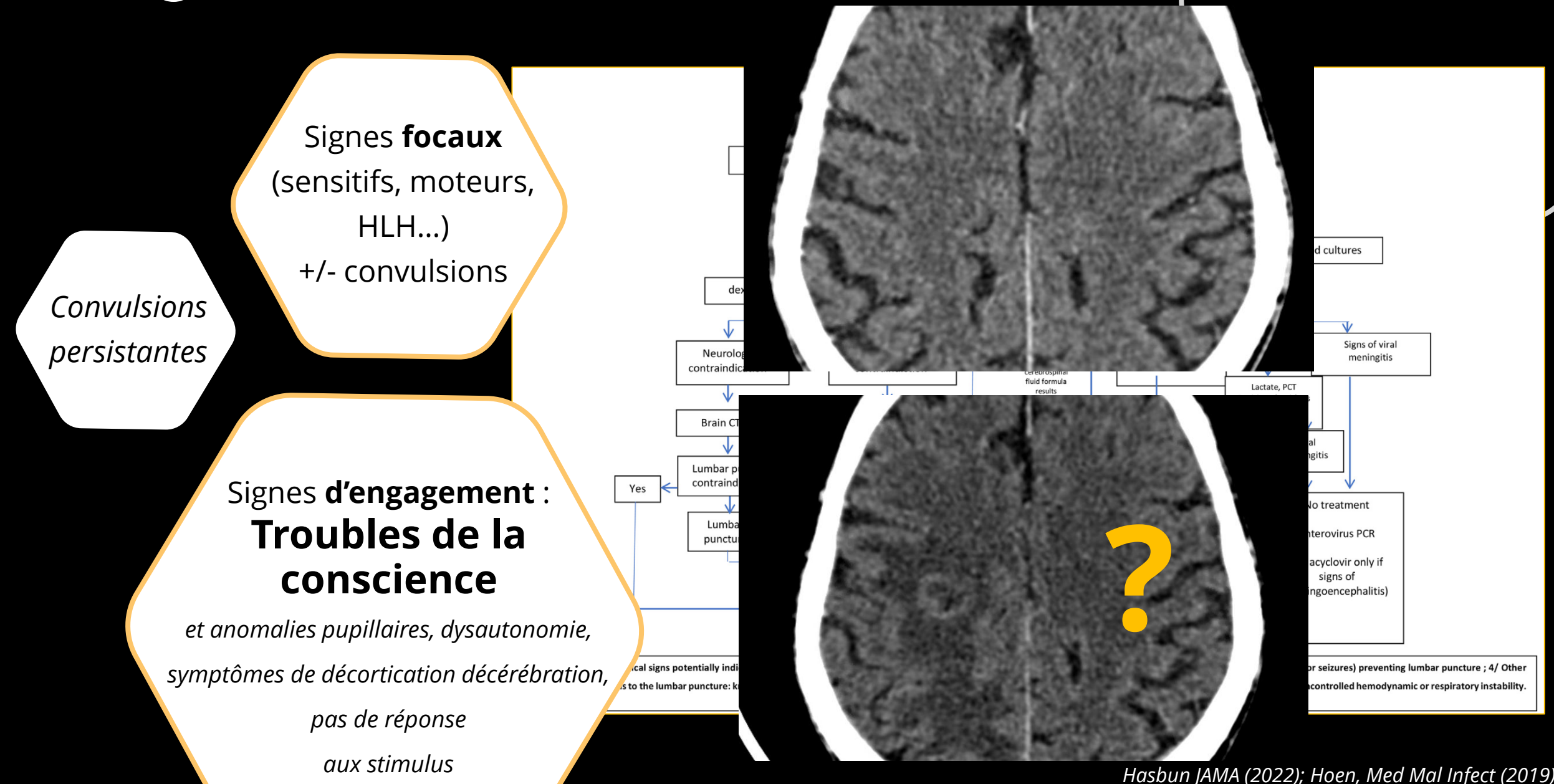
Amélioration du SIB mais persistance de l'AEG

Transfert en France

Au SAU : **obnubilation**, **hallucinations visuelles** 



Imagerie cérébrale avant la PK



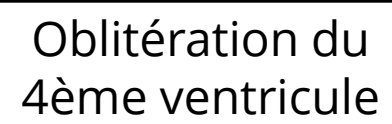
## CI à la PL après le scanner

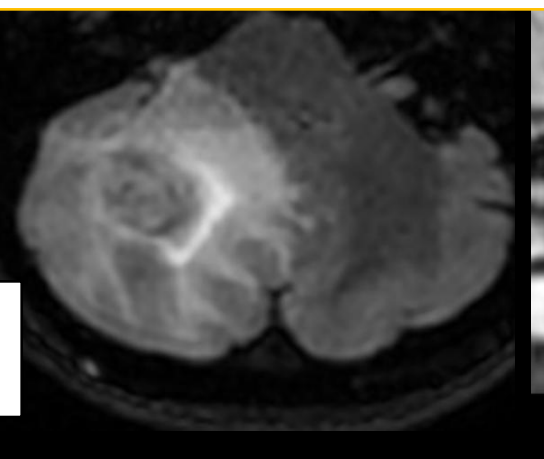
Déviation des structures médianes



Oblitération des citernes de la base

Hypertension intracrânienne « **inégale** » entre les compartiments







Engagement amygdalien

# Imagerie post-PL

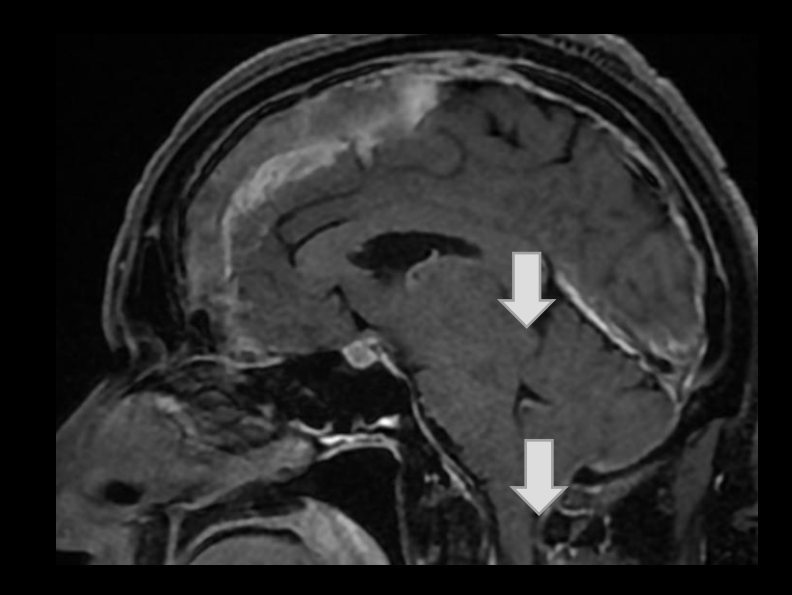
### Peu voire pas de modification

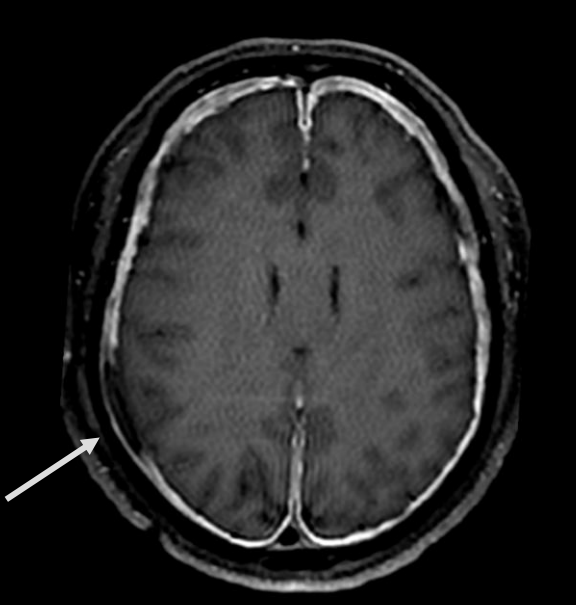
de l'imagerie par la PL

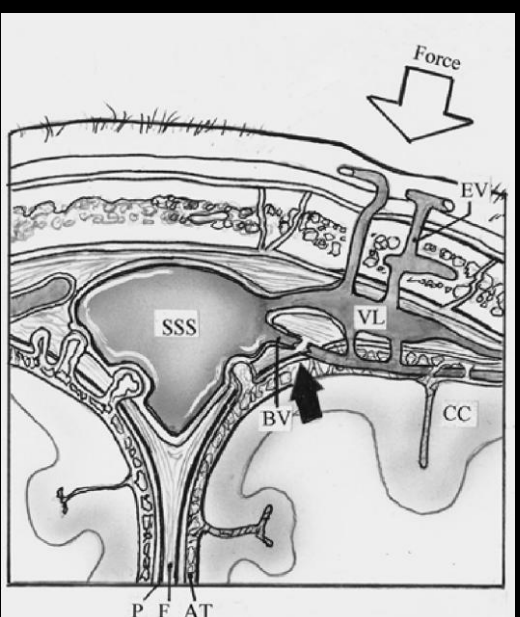
Mark 2022 : 0% dans les 2 jours 6% dans les 7 jours

# Lésions **d'hypotension intracrânienne**

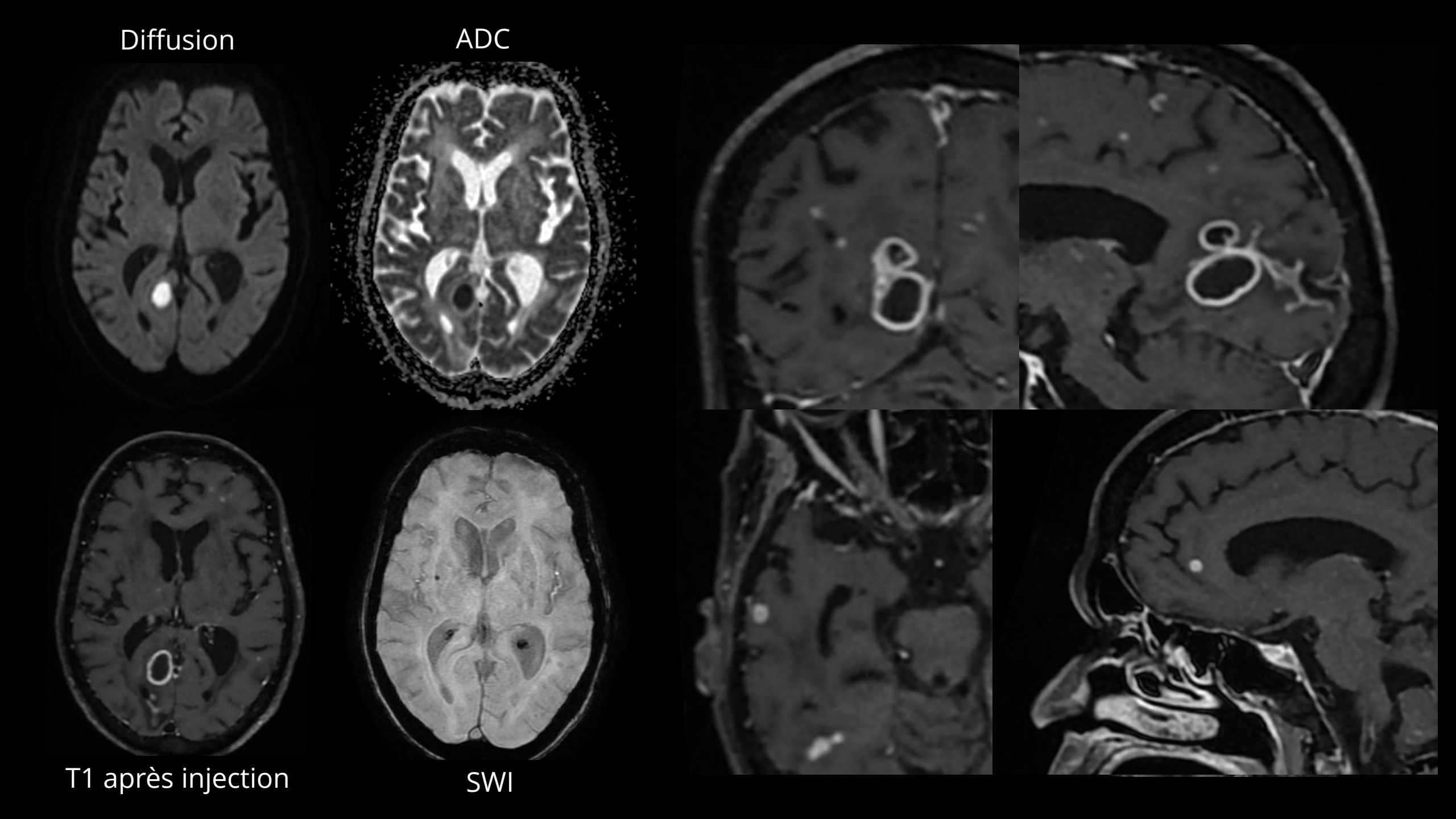
Quasiment pas d'atteinte infectieuse de la pachyméninge







Mark, AJNR 2022; Miller J Neurosurg (2014)



## Signal diffusion **Restriction centrale** Homogène Abcès à pyogènes Restriction en cible **Hypersignal** inversée diffusion DWI Aspergillose Hétérogène Sans restriction Tumeur Toxoplasmose Duong MT, Rudie JD, Mohan S. Neuroimaging Patterns of Chang Sd. Lai PH, Chen WL, et al. Diffusion-weighted MRI features of brain abscess and

Remerciements Drs Manasse & Covier

cystic or hecrotic brain tumors: comparison with conventional MRI. Clin Imaging. 2002

Intracranial Infections: Meningitis, Cerebritis, and Their Complications. Neuroimaging Clin N Am. 2023;33(1):11-41.

# Abcès à pyogène

0,9/1000000

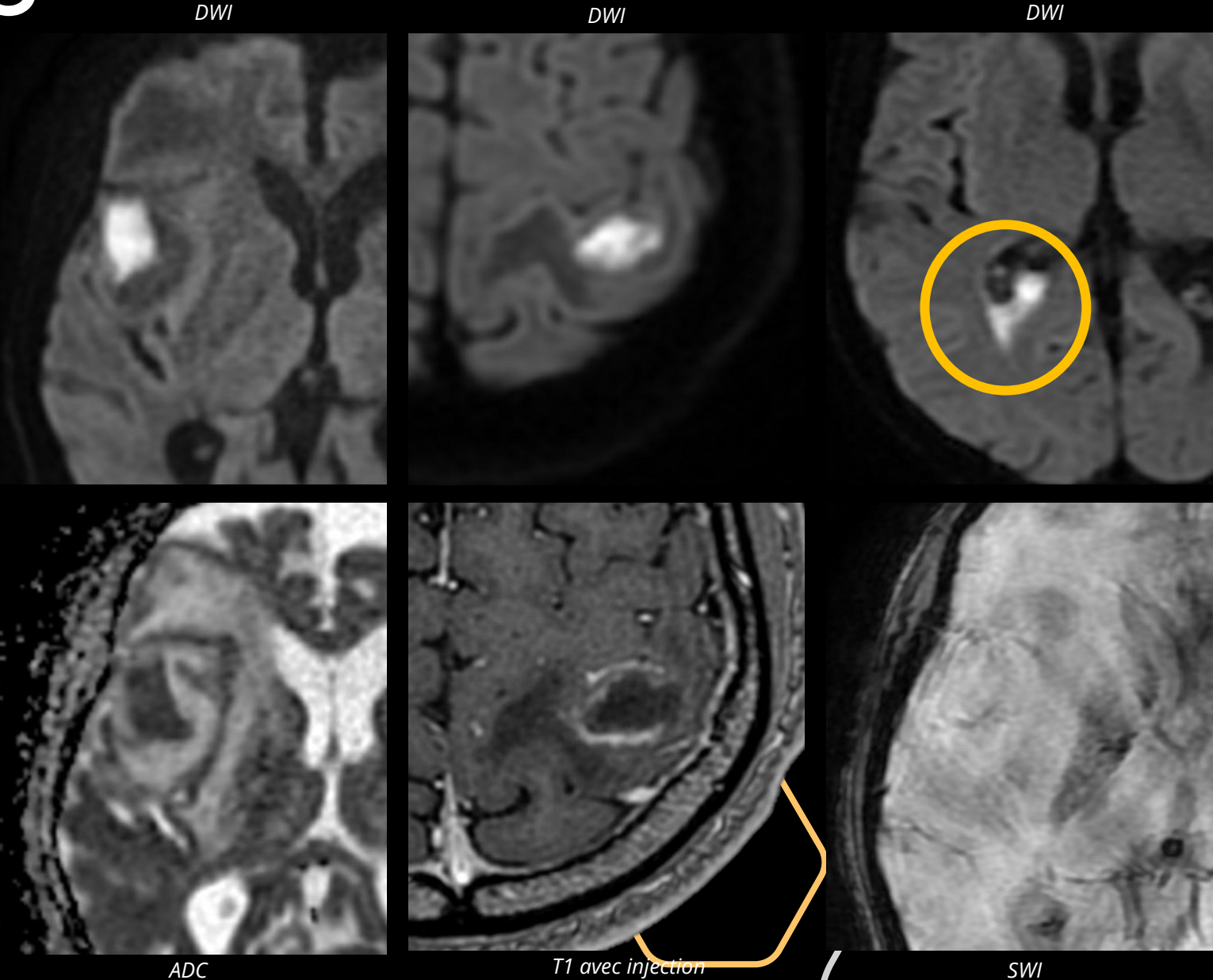
Rehaussement annulaire

Restriction **majeure** de la diffusion

SWI : **homogène** sans hypo

In the immunocompetent population	αOR	95% CI
Neurosurgery <sup>a</sup>	19.3	(14.3-26.0)
Congenital heart disease	15.6	(9.57-25.4)
Lung abscess or bronchiectasis	8.15	(3.59-18.5)
Dental infections <sup>a</sup>	4.61	(3.39-6.26)
Ear, nose, and throat infection <sup>a</sup>	3.81	(3.11-4.67)
Ear, nose, and throat surgery <sup>a</sup>	2.85	(2.21-3.70)
Liver disease	2.37	(1.53-3.68)
Alcohol abuse	2.22	(1.58-3.11)
Head trauma <sup>a</sup>	2.15	(1.72-2.70)
Kidney disease	2.04	(1.30-3.20)
Diabetes mellitus	1.74	(1.33-2.29)
In the immunocompromised population	aOR	95% CI
Human immunodeficiency virus	12	(6.13-23.7)
Hematological cancer	8.77	(5.66-13.6)
Immunomodulating treatments	5.71	(4.22-7.75)
Solid cancer	4.12	(3.37-5.04)

Thy et al., COIID 2022



# Cas clinique n°2

Femme de 35 ans

**Altération de la vigilance** depuis 24h

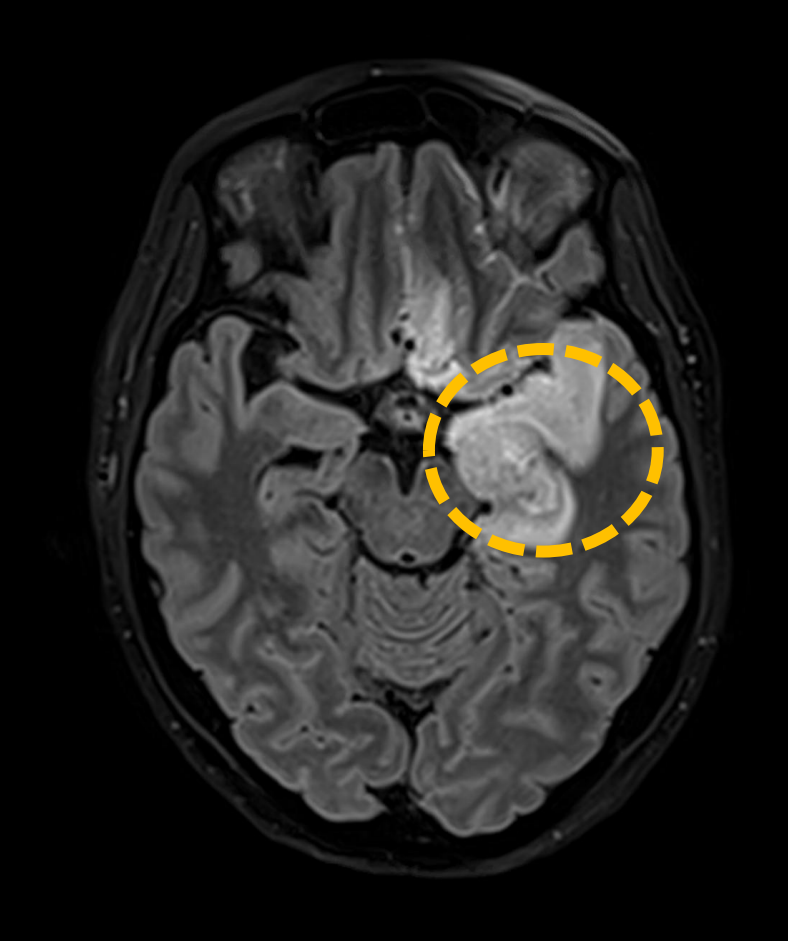
1 épisode de **convulsions** 

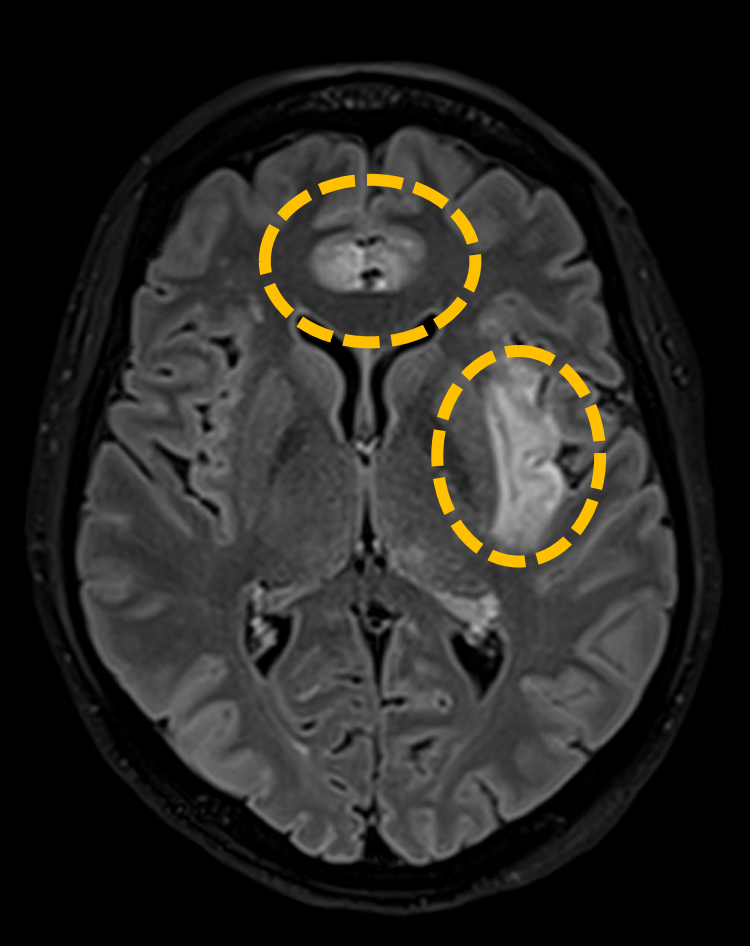
T° **38,5°C** 

Pas de défaillance extraneurologique



# IRM cérébrale







3D FLAIR

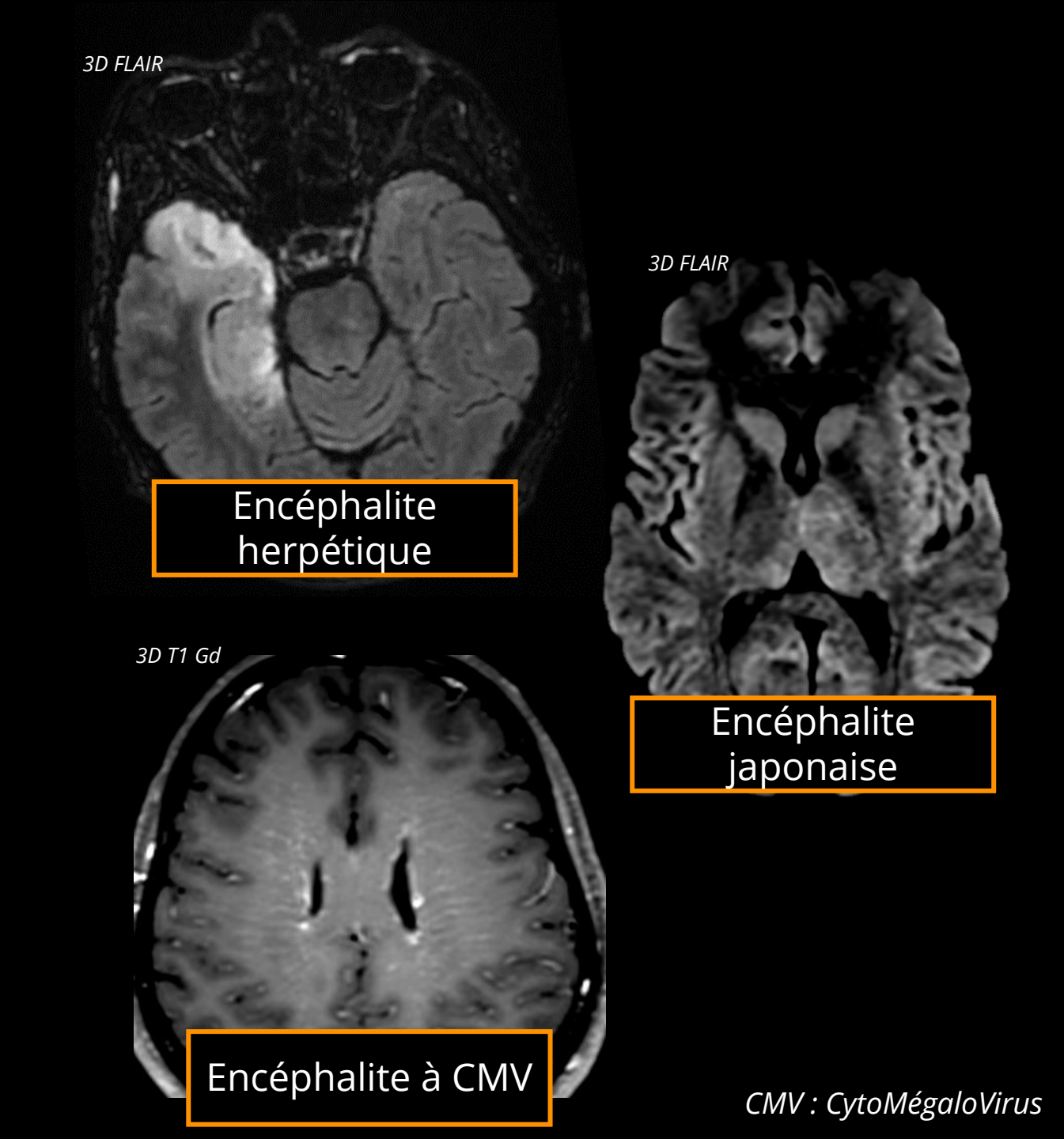
## Encéphalite

# Association encéphalopathie et preuve d'inflammation du SNC

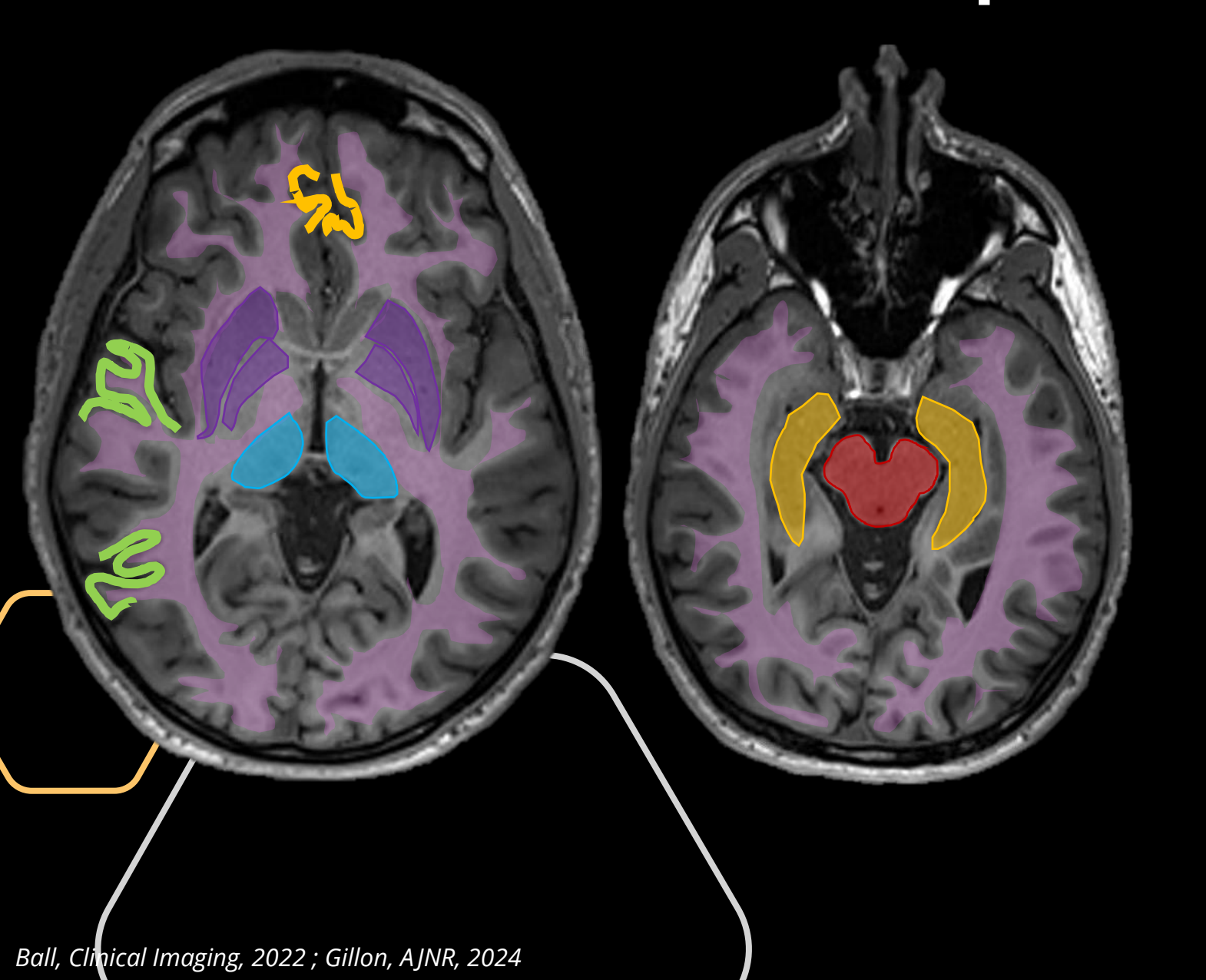
 Fièvre, syndrome inflammatoire biologique, pléïocytose à la ponction lombaire, EEG évocateur, IRM évocatrice

#### Lésions élémentaires

- Œdème (hypersignal FLAIR)
- +/- Remaniements hémorragiques
- +/- Rehaussement



# Pattern d'atteinte spécifique



Atteinte système limbique Herpesvirus, Syphilis

Atteinte **tronc cérébral Listéria**, Entérovirus, TBE

Atteinte corticale extra-limbique HSV

Atteinte **noyaux gris centraux** WNV, TBE, neuro-paludisme

Atteinte **thalamique** : **Encéphalite japonaise**, **dengue**, TBE

Atteinte diffuse de la SB
Neuro-paludisme, dengue, Lyme

Atteinte du corps calleux (CLOCC)
Neuro-paludisme

TBE: TickBorne Encephalitis WNV: West Nile Virus

CLOCC: Cytotoxic lesions of the corpus callosum

# Imagerie diagnostique de l'H\$/E

20% des encéphalites

Réactivation d'une infection latente

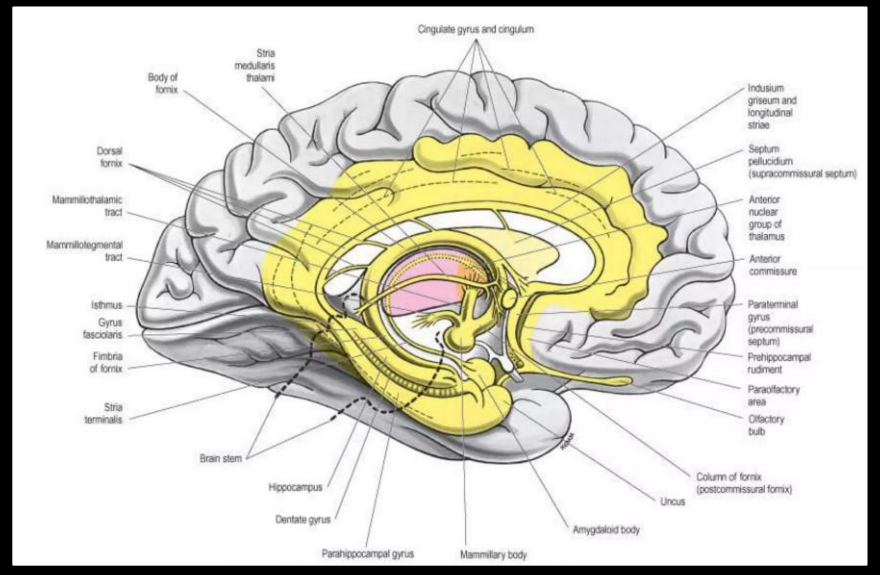
Pathogénie incertaine

Atteinte temporale avec extension au système limbique

Insula, gyrus cingulaire, régions basifrontales

« Epargne » les NGC





## Conclusion

Infections neuroméningées : groupe très hétérogène

Imagerie utilisée en pratique quotidienne, mais **peu de** recommandations consensuelles

Objectifs de l'imagerie :

Recherche de CI à la PL (lorsque recommandée)

**Apport diagnostique** (patterns radiologiques)

Eléments pronostiques?

Abcès : lésion focale avec hypersignal diffusion central marqué

Encéphalite herpétique : atteinte limbique

# Imagerie des infections neuroméningées

Dr Augustin Gaudemer Service d'Imagerie Médicale, Hôpital Bichat

augustin.gaudemer@aphp.fr







